

staltstypen aus den sieben Punktlagen  $A, B, C, 1, 2, 3, 4$ , des Urbauteils in Fig. 131 abzuleiten.

- a. Flächen senkrecht zur Hauptachse.  
C. Pinakoid  $\{0001\}$ . Endflächen. Fig. 135.
- b. Flächen parallel zur Hauptachse.  
A. Hexagonales Prisma erster Stellung  $\{10\bar{1}0\}$ . Fig. 136.  
B. Hexagonales Prisma zweiter Stellung  $\{11\bar{2}0\}$ . Fig. 137.  
1. Dihexagonale Prismen  $\{h\bar{i}\bar{k}o\}$ . Fig. 138.

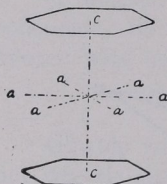


Fig. 135.  
Endflächen.

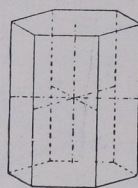


Fig. 136.  
Hexagonales Prisma  
I. Stellung.

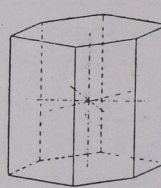


Fig. 137.  
Hexagonales Prisma  
II. Stellung.

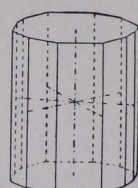


Fig. 138.  
Dihexagonales  
Prisma.

- γ. Flächen schräg zur Hauptachse.

2. Rhomboeder: a) positive Rhomboeder  $\{h\bar{o}\bar{h}l\}$ . Fig. 139;  
b) negative Rhomboeder  $\{oh\bar{h}l\}$ . Fig. 140.
3. Hexagonale Bipyramiden zweiter Stellung  $\{hh\bar{2}\bar{h}l\}$ .  
Fig. 141.
4. Skalenoeder: a) positive Skalenoeder  $\{hi\bar{k}l\}$ . Fig. 142;  
b) negative Skalenoeder  $\{ih\bar{k}l\}$ .

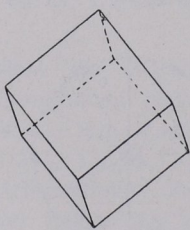


Fig. 139.  
Ein positives  
Rhomboeder.

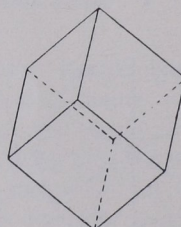


Fig. 140.  
Ein negatives  
Rhomboeder.

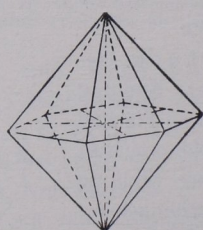


Fig. 141.  
Eine hexago-  
nale Bipyramide,  
2. Stellung.

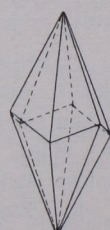


Fig. 142.  
Ein positives  
Skalenoeder.

II. Ditrigonal-pyramidale Klasse. 4. Stufe. Erzeugende Symmetrie  $3d$  (trigyrisch domatisch) Fig. 143. Volle Symmetrie Fig. 144.  $c$ -Achse heteropolar.; Hemimorphismus. Entsprechend Fig. 144 sind die sieben Gestaltstypen aus den sieben Punktlagen  $A, B, C, 1, 2, 3, 4$  des Urbauteils in Fig. 131 abzuleiten.